

## Synthesis of anhydrite in the mixtures of alunite and limestone by roasting

Hyung-Seok Kim<sup>†</sup>, Ji-Whan Ahn, Hwan Kim\*, Kang-Ho Shin\*\* and Dong-Sung Cho\*\*\*

*Minerals Utilization and Materials Development Division, Institute of Geoscience and Mineral Resources, Taejeon 305-350, Korea*

*\*School of Materials Science & Engineering, Seoul National University, Seoul 151-742, Korea*

*\*\*Department of Mining & Energy resources Eng., Samchok National University, Samchok 245-711, Korea*

*\*\*\*Department of Mining & Energy resources Eng., Inha University, Incheon 402-751, Korea*

(Received January 31, 2001)

**Abstract** Alunite was dehydrated at 500~580°C and desulfurized at 580~780°C in air atmosphere. Therefore, this study was carried out to investigate the formation conditions of anhydrite (CaSO<sub>4</sub>) when the mixtures of alunite [K<sub>2</sub>SO<sub>4</sub>·Al<sub>2</sub>(SO<sub>4</sub>)<sub>3</sub>·4Al(OH)<sub>3</sub>] and limestone (CaCO<sub>3</sub>) were roasted. Alunite scarcely affected the partial pressures of CO<sub>2</sub>(g), but limestone was transformed into CaO at 650°C in air and 900°C in saturated CO<sub>2</sub>(g) atmosphere, respectively. When the the mixtures of 1 mol of alunite and 6 mol of limestone were roasted for 2 hours at 1000°C in air and saturated CO<sub>2</sub>(g), anhydrite was formed at 550°C; calciumlangbeinite, at 700°C; and haüyne, at 800~950°C. The formation rate of anhydrite in air and saturated CO<sub>2</sub>(g) was 99.0 % and 95.0 %, respectively. then the formation rate of anhydrite was not changed in air atmosphere but increased according to the decreasing of the particle size of limestone in saturated CO<sub>2</sub>(g). Therefore, when the mixture of 1 mol of alunite and 6 mol of limestone were roasted, the clinker composed of 1 mol of haüyne and 1 mol of calciumlangbeinite can be manufactured.

**Key words** Alunite, Limestone, Calcium oxide, Anhydrite, Haüyne, Calciumlangbeinite

## Alunite와 limestone의 혼합소성에서 무수석고의 합성

김형석<sup>†</sup>, 안지환, 김 환\*, 신강호\*\*, 조동성\*\*\*

한국지질자원연구원 자원활용부, 대전, 305-350

\*서울대학교 재료공학부, 서울, 151-742

\*\*삼척대학교 자원공학과, 삼척, 245-711

\*\*\*인하대학교 자원공학과, 인천, 402-751

(2001년 1월 31일 접수)

**요 약** 명반석[K<sub>2</sub>SO<sub>4</sub>·Al<sub>2</sub>(SO<sub>4</sub>)<sub>3</sub>·4Al(OH)<sub>3</sub>]을 공기분위기에서 가열하면 500~580°C에서 탈수되고, 580~780°C에서 SO<sub>3</sub>(g)가 발생되므로 석회석과 혼합소성하였을 때의 무수석고(CaSO<sub>4</sub>)의 합성특성을 조사하였다. 명반석의 열분해는 CO<sub>2</sub>(g) 분압에 영향이 없으나, 석회석의 경우 공기 분위기에서는 약 650°C부터 분해되지만 CO<sub>2</sub>(g)의 포화 분위기에서는 약 900°C부터 분해된다. 명반석과 석회석을 1:6의 몰비로 혼합한 후 공기 분위기와 CO<sub>2</sub>(g) 포화 분위기에서 10°C/min의 속도로 1000°C까지 가열하여 2시간 동안 소성하면 550°C에서 무수석고가, 700°C에서 calciumlangbeinite(2CaSO<sub>4</sub>·K<sub>2</sub>SO<sub>4</sub>)가, 800~950°C에서 haüyne이 형성되며 이때 무수석고의 합성량은 각각 99.0 %와 95.0 % 정도였다. 공기 분위기에서 무수석고 합성량은 석회석의 입도(0.5 mm 이하)에 관계없이 거의 일정하지만, CO<sub>2</sub>(g)의 포화분위기에서는 석회석의 입도가 작아짐에 따라 증가된다. 그러므로 명반석과 석회석을 1:6의 몰비로 혼합 소성하면 1 몰의 haüyne과 1 몰의 calciumlangbeinite로 구성된 클링커가 합성가능하다.

<sup>†</sup>Corresponding author

Tel: 82-42-868-3578

Fax: 82-42-861-0850

E-mail: alunite@dreamwiz.com

1. 서 론

K형 팽창성 수경시멘트(expansive hydraulic cement) [1, 2]는 haüyne( $3CaO \cdot 3Al_2O_3 \cdot CaSO_4$ )[3-6]와 산화칼슘(CaO) 및 무수석고( $CaSO_4$ )로 구성된 시멘트로서 보통 포틀랜드 시멘트에 혼합하여 사용하게 되면 물과 반응하여 시멘트가 응결되는 초기에 일정량의 ettringite( $3CaO \cdot Al_2O_3 \cdot 3CaSO_4 \cdot 32H_2O$ )[7]를 경화체 공극에 생성시키면서 체적을 증가시키기 때문에 주로 콘크리트의 건조수축에 의한 균열의 발생을 억제시키는데 사용된다[8-10].

일반적으로 haüyne은 알루미늄질 광물인 bauxite와 석회석( $CaCO_3$ ) 그리고 석고( $CaSO_4 \cdot 2H_2O$ )의 혼합 소성으로 제조되지만 bauxite는 국내에서 산출되지 않는다. 그러나 국내에 풍부하게 매장된 명반석[ $K_2SO_4 \cdot Al_2(SO_4)_3 \cdot 4Al(OH)_3$ ] (1 mol)을 이용하게 되면  $Al_2O_3$ (3 mol) 뿐만 아니라 가열할 때 발생하는  $SO_3(g)$ (3 mol)를 CaO와 반응시켜 무수석고로 형성시키면[11-13] 석회석과의 혼합 소성만으로도 haüyne을 충분히 합성할 수 있을 것으로 생각된다. 그러나 명반석의 열분해에서  $SO_3(g)$ 가 발생하는 온도는 명반석의 수반광물로 존재하는  $\alpha-SiO_2$  및 kaolinite 등에 거의 영향을 받지 않지만[14], 석회석의 경우는  $CO_2(g)$  분압이 작을 때에 약  $500^\circ C$ 에서 분해되기 시작하지만,  $CO_2(g)$  분압이 증가됨에 따라 분해온도가 높아져 1 atm의  $CO_2(g)$  분압에서는 약  $900^\circ C$ 부터 분해된다고 한다[15]. 그러므로 명반석과 석회석을 혼합하여 로에서 가열하게 되면 석회석의 열분해 및 연료의 연소로 로내의  $CO_2(g)$ 의 분압이 증가되어 석회석의 분해온도를  $SO_3(g)$ 의 발생 온도보다 높게 할 가능성이 크기 때문에  $CO_2(g)$  분압에 따른 석회석의 분해여부에 따라 명반석에서 발생하는  $SO_3(g)$ 는 고체인  $CaCO_3$ 나 CaO와 반응하므로 이들 반응의 종류에 따라 무수석고의 합성량은 변화되어 결과적으로 haüyne의 생성에도 영향을 끼칠 것으로 판단된다.

따라서 본 연구에서는 명반석과 석회석의 혼합소성에서 haüyne의 형성에 큰 영향을 끼칠 수 있는 무수석고의 합성 특성을 명반석과 석회석의 입도, 혼합비, 그리고  $CO_2(g)$  분압 등을 변화시켜 조사하였다.

2. 실험 방법

본 연구에서 명반석 시료는 전남 해남의 가시도에서 채취된 명반석 광석에서 명반석 결정을 수선(handpicking)하여 사용하였고, Fig. 1과 Table 1에서 알 수 있는 바와 같이 불순물로  $\alpha-SiO_2$ 가 약 3.3%로 함유된 potassium alunite이었다.

석회석은 주로 보통 포틀랜드 시멘트의 제조에 이용되는

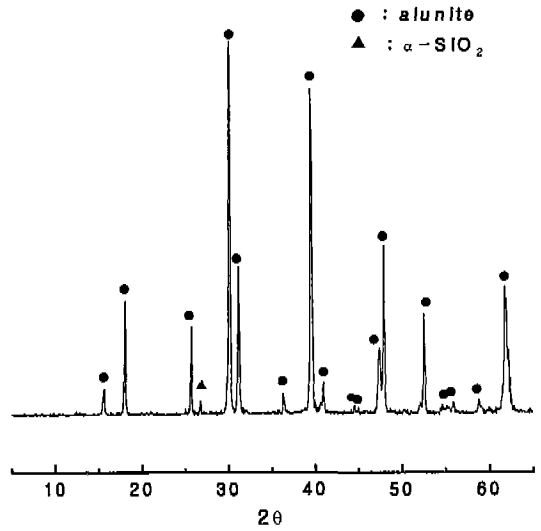


Fig. 1. X-ray diffraction pattern of alunite.

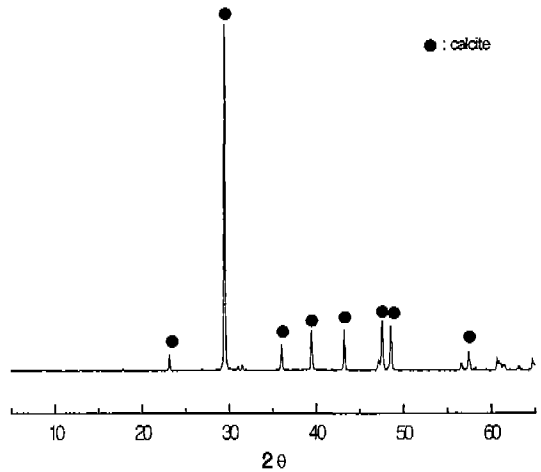


Fig. 2. X-ray diffraction pattern of limestone.

정선지역의 풍촌층에서 채취된 것으로, Fig. 2와 Table 1에서 알 수 있는 바와 같이 CaO 함유량이 약 54.5% 정도 함유된 calcite이었으며, calcite 결정의 크기는 편광 현미경 관찰결과 10~100  $\mu m$ 이었다.

명반석과 석회석의 화학성분은 Philips계 PW-1480형 X-Ray Fluorescence Sequential Spectrometer(전압 : 40 kV, 전류 : 30 mA)로 분석하였고, S(Sulfur)는 Elementar Analysensysteme GmgH Vario EL로 분석하였으며, 분석 결과는 Table 1과 같다.

명반석과 석회석의 열분해는 시차열분석기(DTA; Thermal Analyst 2000)로 조사하였고, 소성 생성물의 광물상은 Philips계 PW-1700형 X-Ray Diffractometer [target :

Table 1  
Chemical composition of alunite and limestone

| Comp. (wt%) | SiO <sub>2</sub> | Al <sub>2</sub> O <sub>3</sub> | Fe <sub>2</sub> O <sub>3</sub> | K <sub>2</sub> O | Na <sub>2</sub> O | TiO <sub>2</sub> | CaO   | MgO  | P <sub>2</sub> O <sub>5</sub> | SO <sub>3</sub> | SrO  | Ig.loss | Total  |
|-------------|------------------|--------------------------------|--------------------------------|------------------|-------------------|------------------|-------|------|-------------------------------|-----------------|------|---------|--------|
| Alunite     | 3.34             | 35.62                          | 0.19                           | 9.84             | 0.74              | 0.02             | 0.07  | 0.06 | 0.23                          | 37.40           | -    | 40.56   | 100.09 |
| Limestone   | 0.12             | 0.83                           | 0.07                           | -                | -                 | -                | 54.49 | 1.57 | 0.04                          | -               | 0.03 | 42.73   | 100.00 |

Cu(K $\alpha$ ,  $\lambda = 1.5418$ ), filter: Ni, 튜브전압; 30 kV, 튜브 전류; 25 mA, 2 $\theta$ ; 2 $^{\circ}$ /min)로 조사하였다.

명반석과 석회석의 혼합 소성에서 혼합비, 입도, CO<sub>2</sub>(g) 분압에 따른 명반석의 열분해로 발생되는 SO<sub>3</sub>(g)가 무수 석고로 합성되는 비율[(소성생성물의 CaSO<sub>4</sub>에 결합된 SO<sub>3</sub>의 양)/(명반석에서 발생된 SO<sub>3</sub>(g)의 양)]은 혼합물의 양이 20 g이 되도록 명반석과 석회석을 소정의 물비로 혼합한 후에 물로 지름이 약 2 cm로 되게 pellet으로 만들어 105 $^{\circ}$ C에서 6시간 동안 건조시켰다. 그리고 이들 pellet을 10 $^{\circ}$ C/min로 가열하여 약 1000 $^{\circ}$ C에서 2시간 동안 전기로(BARNSTEAD/THERMOLYNE F46120 CM High Temp. Furnace)로 소성하였다. 그리고 소성생성물에 함유된 모든 SO<sub>3</sub>는 KS L 5120에 규정된 BaCl<sub>2</sub>를 이용한 중량분석 방법으로 정량한 후 명반석 및 소성생성물에 K<sub>2</sub>SO<sub>4</sub>로 존재하는 SO<sub>3</sub>를 제외한 나머지 SO<sub>3</sub>의 양으로 계산하였다.

### 3. 결과 및 고찰

#### 3.1. 명반석과 석회석의 열분해

명반석[K<sub>2</sub>SO<sub>4</sub>·Al<sub>2</sub>(SO<sub>4</sub>)<sub>3</sub>·4Al(OH)<sub>3</sub>]은 500~580 $^{\circ}$ C에서 K<sub>2</sub>SO<sub>4</sub>·Al<sub>2</sub>(SO<sub>4</sub>)<sub>3</sub>·4Al(OH)<sub>3</sub> → 2KAl(SO<sub>4</sub>)<sub>2</sub> + 2Al<sub>2</sub>O<sub>3</sub> + 6H<sub>2</sub>O의 반응으로 급격히 탈수되고, 580~700 $^{\circ}$ C에서 SO<sub>3</sub>(g)를 서서히 발생시키지만 700~800 $^{\circ}$ C에서는 탈수반응으로 형성된 KAl(SO<sub>4</sub>)<sub>2</sub>가 SO<sub>3</sub>(g)를 급격히 발생시키면서 K<sub>2</sub>SO<sub>4</sub>와 Al<sub>2</sub>O<sub>3</sub>로 분해된다. 그리고 명반석의 탈수속도 및 KAl(SO<sub>4</sub>)<sub>2</sub>의 분해속도는 각각 Jander의 분해 속도식인  $kt = [1 - (1 - \alpha)^{1/3}]^2$  및 Mampel의 분해 속도식인  $kt = 1 - (1 - \alpha)^{1/3}$ 와 잘 일치하며, H<sub>2</sub>O와 SO<sub>3</sub>(g)의 이탈온도는 SiO<sub>2</sub>나 kaolinite와 같은 불순물에는 거의 영향을 받지 않는다고 한다[14]. 그러나 명반석과 석회석의 혼합물을 가열할 때에는 석회석의 열분해 및 연료의 연소로 CO<sub>2</sub>(g)가 르내에 축적될 수 있기 때문에 CO<sub>2</sub>(g) 분압이 석회석뿐만 아니라 명반석의 열분해에 영향을 미쳐 무수석고의 생성에도 영향을 줄 수 있을 것으로 생각된다. 따라서 각각 공기분위기와 CO<sub>2</sub>(g)로 포화시킨 시차열분석기(DTA)로 명반석과 석회석의 열분해를 조사한 결과를 Fig. 3에 함께 나타내었다.

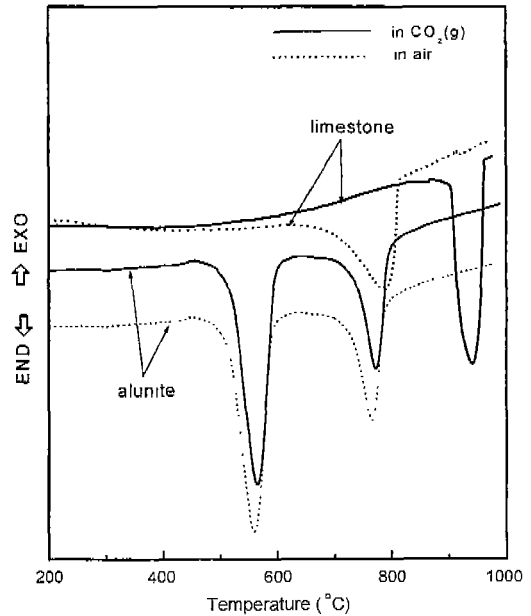


Fig. 3. DTA curves of alunite and limestone in air and saturated CO<sub>2</sub>(g) atmosphere, respectively (particle size : 37~44  $\mu$ m, sample weight : 20 mg, heating rate : 10 $^{\circ}$ C/min, gas flow rate : 80 ml/min).

Fig. 3에서 알 수 있는 바와 같이 공기분위기와 CO<sub>2</sub>(g) 포화분위기에서 명반석은 500~580 $^{\circ}$ C에서 탈수되고, 700~800 $^{\circ}$ C에서는 SO<sub>3</sub>(g)가 이탈되므로 CO<sub>2</sub>(g) 분압은 SO<sub>3</sub>(g) 이탈온도에 영향을 주지 않는 것으로 보인다. 그러나 석회석은 Fig. 3의 시차열분석 결과와 각각 공기분위기와 CO<sub>2</sub>(g) 포화 분위기에서 온도별로 2시간 동안 석회석을 하소시켜 X-선회절분석기로 분석한 Fig. 4와 Fig. 5의 실험결과에서 확인되는 바와 같이 공기분위기에서는 약 650 $^{\circ}$ C부터 분해되지만 CO<sub>2</sub>(g) 포화분위기에서는 약 900 $^{\circ}$ C부터 분해된다. 이때 공기분위기에서 석회석이 650 $^{\circ}$ C에서 분해되는 것은 석회석의 CO<sub>2</sub>(g) 해리압이 공기중의 CO<sub>2</sub>(g) 분압을 초과하기 때문이고 CO<sub>2</sub>(g) 포화분위기일 때 석회석이 900 $^{\circ}$ C에서 분해되는 것은 석회석의 CO<sub>2</sub>(g) 해리압이 900 $^{\circ}$ C 정도에서 1 atm을 초과하기 때문으로 생각된다.

따라서 공기분위기에서 명반석과 석회석을 혼합 소성하면 SO<sub>3</sub>(g)는 주로 CaO와 반응될 것으로 생각되지만, CO<sub>2</sub>(g) 포화분위기에서는 CaCO<sub>3</sub>와 반응할 것으로 생각된다.

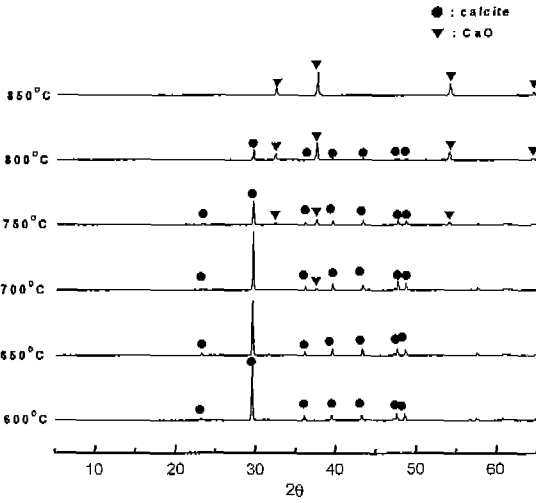


Fig. 4. X-ray diffraction patterns of limestone according to calcination temperature in air atmosphere (particle size : 37~44 μm, sample weight : 50 g, heating rate : 10°C/min, heating time : 2 hours, air flow rate : 80 ml/min).

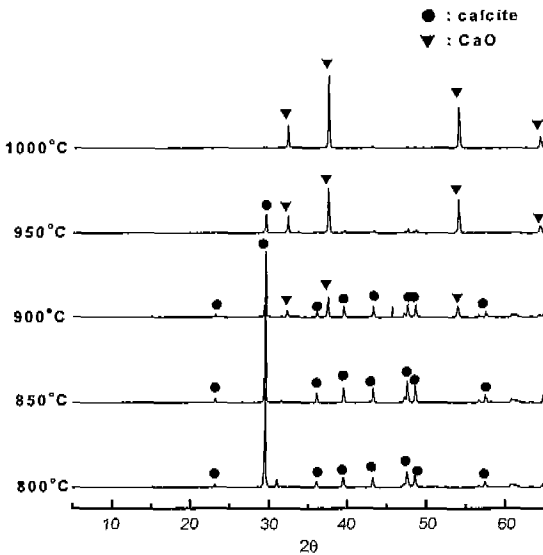


Fig. 5. X-ray diffraction patterns of limestone according to calcination temperature in saturated CO<sub>2</sub>(g) atmosphere (particle size : 37~44 μm, sample weight : 50 g, heating rate : 10°C/min, heating time : 2 hours, CO<sub>2</sub>(g) flow rate : 80 ml/min).

3.2. 명반석과 석회석의 혼합소성에서 무수석고 함성량

Fig. 6은 명반석과 석회석의 혼합비(석회석/명반석(몰비))를 변화시켜 각각 공기 분위기와 CO<sub>2</sub>(g)의 포화분위에서 10°C/min의 속도로 가열하여 1000°C에서 2시간 소성하였

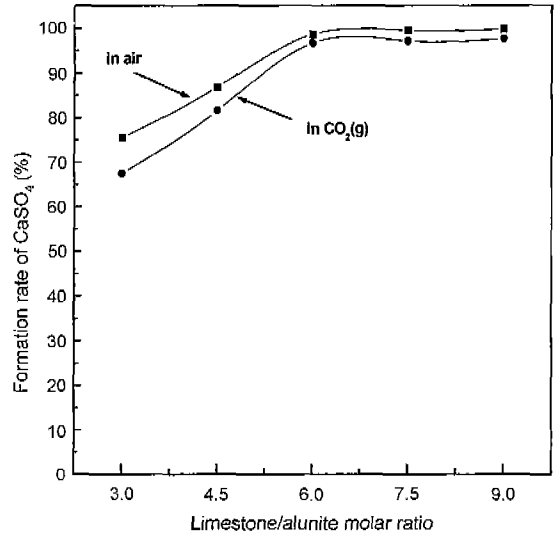


Fig. 6. Formation rate of anhydrite with various limestone/alunite molar ratio in air and saturated CO<sub>2</sub>(g) atmosphere, respectively (particle size : 37~44 μm, gas flow rate 80 ml/min, heating rate : 10°C/min, roasting temp. : 1000°C, roasting time : 2 hrs).

을 때에 무수석고의 함성율[(소성생성물의 CaSO<sub>4</sub>에 결합된 SO<sub>3</sub>의 양)/(명반석에서 발생된 SO<sub>3</sub>(g)의 양)]을 알아 본 결과이다. 이때 명반석과 석회석의 입도는 모두 37~44 μm으로 고정하고, 혼합비는 SO<sub>3</sub>(g)가 CaO와 당량으로 반응되는 3.0의 혼합비에서 9.0까지 변화시켰다.

그림에서 알 수 있는 바와 같이 혼합비를 3.0이하로 소성하였을 때 공기 분위기와 CO<sub>2</sub>(g) 포화 분위기에서 무수석고의 함성량은 각각 약 76.0% 및 67.0%로 낮았지만 당량의 두배 이상인 6.0 이상의 혼합비로 석회석을 혼합하여 소성한 경우 무수석고의 함성량이 각각 99.0%와 95.0% 이상으로 증가되었다. 이와 같이 3.0~6.0의 혼합비에서 혼합비가 낮아짐에 따라 공기 분위기와 CO<sub>2</sub>(g) 포화 분위기에서의 무수석고의 함성율이 낮아지는 것은 CaCO<sub>3</sub> 및 CaO의 결정 표면에서 SO<sub>3</sub>(g)와의 반응으로 형성된 CaSO<sub>4</sub>층이 SO<sub>3</sub>(g)가 내부로 확산되는 것을 억제한 효과 [16]로 생각된다. 그리고 명반석과 석회석을 같은 양으로 혼합했음에도 불구하고 공기 분위기와 CO<sub>2</sub>(g) 포화 분위기에서 무수석고의 함성량에 차이를 보인 것은 석회석 및 석회석의 열분해물인 CaO의 입도 차이에서 비롯된 것으로 생각된다. 그러나 6.0의 혼합비일 때 CO<sub>2</sub>(g) 포화분위기에서 무수석고의 함성율이 공기분위기에서와 큰 차이를 보이지 않는 것은 SO<sub>3</sub>(g)와 반응될 석회석이 충분히 존재하기 때문으로 생각된다.

Fig. 7은 석회석/명반석의 혼합비(몰비)를 6.0으로 고정하고 입도변화에 따른 무수석고 함성량을 조사한 결과이다.

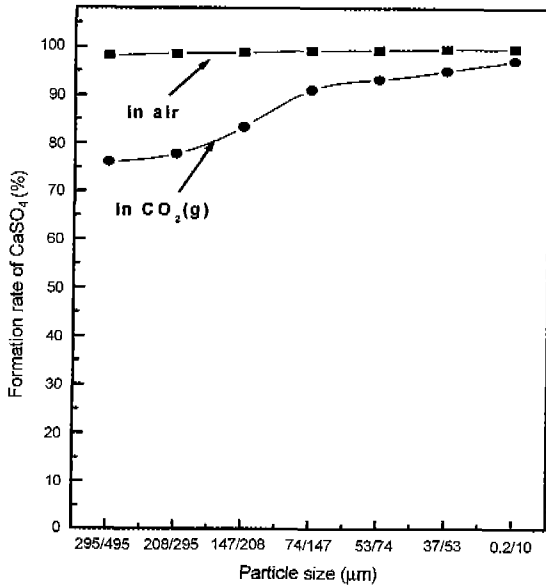


Fig. 7. Formation rate of anhydrite with various particle size of limestone in air and saturated CO<sub>2</sub>(g) atmosphere, respectively (calcite/alunite molar ratio : 6.0, gas flow rate 80 ml/min, heating rate : 10°C/min, roasting temp. : 1000°C, roasting time : 2 hrs).

공기 분위기에서 무수석고의 함성율은 석회석의 입도에 거의 영향 없이 약 99.0%로 높았다. 그러나 CO<sub>2</sub>(g)의 포화분위기에서는 무수석고의 함성률이 석회석의 입도에 큰 영향을 받으며, 무수석고가 95% 이상 함성되려면 석회석을 최소한 10 μm 이하로 분쇄해야 함을 알 수 있었다. 이와 같이 공기분위기에서 무수석고의 함성률이 높은 것은 Fig. 3과 같이 SO<sub>3</sub>(g)가 발생되는 650~800°C의 온도범위에서는 석회석이 열분해되어 CaO로 되기 때문에 석회석의 입도보다는 CaO의 입도 및 반응성에 의해 영향을 받는 것으로 생각된다. 그러나 CO<sub>2</sub>(g) 포화분위기에서는 SO<sub>3</sub>(g)가 발생되는 650~800°C 온도범위에서 석회석은 분해되지 않기 때문에 무수석고의 함성율이 석회석의 입도에 큰 영향을 받는 것으로 생각된다.

3.3. 명반석과 석회석 혼합물의 소성생성물

Fig. 8과 9는 명반석과 석회석을 1:6의 몰비로 혼합하여 각각 공기 분위기와 CO<sub>2</sub>(g) 포화 분위기인 전기로에서 각 온도별로 2시간씩 소성한 물질을 X-선회절기로 분석하여 무수석고 및 haüyne의 생성여부를 알아 본 결과이다. 이때에 명반석과 석회석을 1:6의 몰비로 혼합한 이유는 Fig. 4에서 알 수 있는 바와 같이 명반석 1몰당 최소한 석회석 6몰 이상을 혼합해야만 명반석에서 발생하는 SO<sub>3</sub>(g)

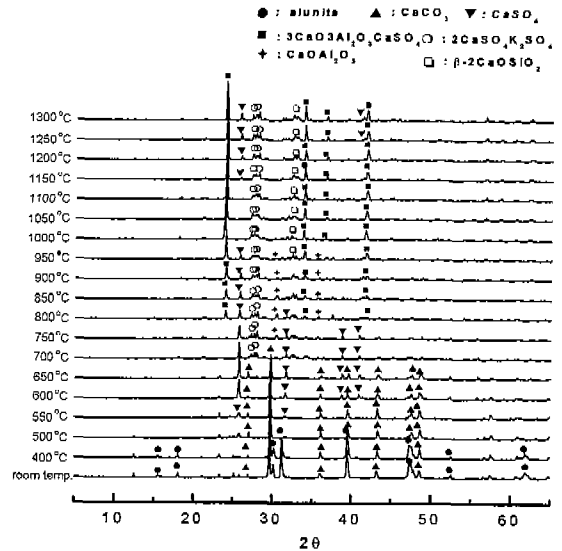


Fig. 8. X-ray diffraction patterns of roasted products of the mixture of 1 mol of alunite and 6 mol of limestone with various temperature in air atmosphere.

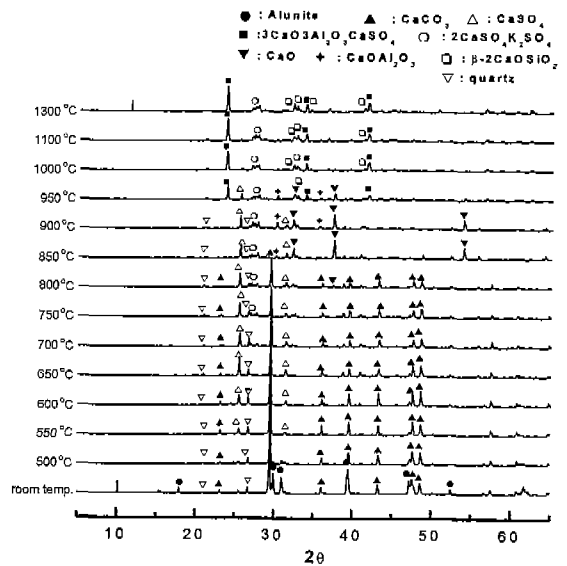


Fig. 9. X-ray diffraction patterns of roasted products of the mixtures of 1 mol of alunite and 6 mol of limestone with various temperature in saturated CO<sub>2</sub>(g) atmosphere.

의 99.0% 이상이 무수석고로 형성되며, 또한 이론적으로도 1몰의 명반석[K<sub>2</sub>SO<sub>4</sub>·Al<sub>2</sub>(SO<sub>4</sub>)<sub>3</sub>·4Al(OH)<sub>3</sub>]을 가열할 때 가스로 발생되는 3몰의 SO<sub>3</sub>(g)를 무수석고로 형성시키고 3몰의 Al<sub>2</sub>O<sub>3</sub>를 모두 haüyne으로 형성시키기 위한 성분비를 맞추기 위해서는 6몰의 CaO가 필요하기 때문이다.

Fig. 8에서 알 수 있는 것처럼 공기분위기에서 명반석은

500°C부터 탈수되기 때문에 명반석의 회절선은 보이지 않고, 분해되지 않은 calcite만이 관찰된다. 그러나 550°C부터는 무수 석고(CaSO<sub>4</sub>)가 형성될 뿐만 아니라 700°C부터는 calcite 결정이 완전히 분해되고, 무수석고의 회절피크의 높이가 낮아지면서 calciumlangbeinite(2CaSO<sub>4</sub>·K<sub>2</sub>SO<sub>4</sub>)가 형성되기 시작한다. 또한 800°C부터는 haiyune이 그리고 약 950°C부터는 β-2CaO·SiO<sub>2</sub>가 형성되기 시작하여 1300°C까지 안정하게 존재하는 것으로 나타났다.

그러나 Fig. 9에서 알 수 있는 바와 같이 CO<sub>2</sub>(g) 포화분위기에서는 공기분위기와 마찬가지로 명반석은 500°C에서 탈수되어 명반석 결정의 회절선은 보이지 않고, 무수석고는 공기 분위기와 마찬가지로 550°C에서 형성되며 calciumlangbeinite도 700°C부터 형성되지만 석회석은 CO<sub>2</sub>(g)의 영향으로 850°C에서 분해된다. 그리고 haiyune은 공기 분위기보다 약 150°C가 높은 950°C부터 생성되지만 1000~1300°C에서 생성된 물질은 공기 분위기와 같았다.

따라서 명반석과 석회석의 혼합물을 각각 공기분위기와 CO<sub>2</sub>(g) 분위기에서 소성하면 SO<sub>3</sub>(g) + CaCO<sub>3</sub>(s) → CaSO<sub>4</sub>(s) + CO<sub>2</sub>(g) 및 SO<sub>3</sub>(g) + CaO(s) → CaSO<sub>4</sub>(s)의 반응으로 무수석고가 형성되고, 이들 반응의 표준 반응 자유에너지(ΔG°)가 각각 -216 kJ과 -347 kJ인 것으로 계산되므로 무수석고는 상온에서도 매우 자발적인 반응으로 생성됨을 알게 한다.

또한 공기분위기에서는 haiyune이 약 800°C의 낮은 온도부터 생성되는데 이러한 현상은 700~800°C에서 생성된 calciumlangbeinite가 용제[17]로 작용한 영향도 있으나 700~800°C에서 명반석의 열분해물인 Al<sub>2</sub>O<sub>3</sub>, 석회석의 열분해물인 CaO, 그리고 이들의 합성물인 CaSO<sub>4</sub>가 거의 단분자인 상태인 입도에서 반응하기 때문으로 생각된다. 그러나 CO<sub>2</sub>(g) 분위기에서는 CO<sub>2</sub>(g) 분압의 영향으로 석회석이 약 900°C부터 분해되기 때문에 Al<sub>2</sub>O<sub>3</sub>와 CaSO<sub>4</sub>가 다소 결정화되어 haiyune이 950°C부터 생성된 것으로 생각된다. 그리고 약 1150°C부터 무수석고가 다시 생성되는데 이는 1590~1600°C에서 용융된다고 알려진 haiyune의 분해[4] 보다는 1004°C에서 용융된다고 알려진 calciumlangbeinite[18]가 일부 K<sub>2</sub>SO<sub>4</sub>와 CaSO<sub>4</sub>로 분해되기 때문으로 생각된다.

따라서 명반석과 석회석을 1:6의 몰비로 혼합하여 1000~1300°C의 온도범위에서 소성할 때에 명반석의 열분해로 발생하는 모든 SO<sub>3</sub>(g)가 CaO와 반응하여 무수석고로 형성되면 K<sub>2</sub>SO<sub>4</sub>·Al<sub>2</sub>(SO<sub>4</sub>)<sub>3</sub>·4Al(OH)<sub>3</sub> + 6CaCO<sub>3</sub> → 2CaSO<sub>4</sub>·K<sub>2</sub>SO<sub>4</sub> + 3CaO·3Al<sub>2</sub>O<sub>3</sub>·CaSO<sub>4</sub> + 6H<sub>2</sub>O(g) + 6CO<sub>2</sub>(g)과 같은 반응식으로 1 mol의 haiyune과 1 mol의 calciumlangbeinite로 구성된 클링커가 제조되는 것으로 볼 수 있다. 그러나 명반석과 석회석의 혼합물을 실제로 로에서 소성하게 될 경우에는 로내의 CO<sub>2</sub>(g) 분압이 상승될 것으로 예상된다. 따라서 무수석고의 함성량을 높여 haiyune의 함

성량을 높이기 위해서는 Fig. 6에서 드러난 바와 같이 석회석을 과량으로 혼합하거나 Fig. 7과 같이 석회석을 미분으로 만들기 보다는 부족한 양만큼의 CaSO<sub>4</sub> 성분을 명반석과 석회석의 혼합물에 첨가하는 것이 바람직할 것으로 생각된다. 왜냐하면 석회석을 과량 첨가할 경우에는 클링커내의 미반응한 CaO의 증가되어 제조된 클링커를 보통 포틀랜드 시멘트에 첨가하여 사용할 경우에는 Ca(OH)<sub>2</sub>의 생성량이 많아 콘크리트 경화체에 균열을 발생시킬 가능성이 크고 또한 석회석을 10 μm 이하로 만들기에는 분쇄의 한계성이 있기 때문이다.

#### 4. 결 론

명반석과 석회석의 열분해 및 명반석과 석회석의 혼합 소성에서 입도, 혼합비 그리고 CO<sub>2</sub>(g) 분압의 변화에 따른 무수석고의 합성특성을 조사한 결과는 다음과 같다.

1) 석회석은 공기분위기에서 650~810°C에서 분해되지만, CO<sub>2</sub>(g) 포화 분위기에서는 900~1000°C에서 CaO로 분해되었다. 그러나 명반석의 경우는 CO<sub>2</sub>(g)의 분압에는 거의 영향을 받지 않고 500~580°C에서 탈수되고, 700~800°C에서 SO<sub>3</sub>(g)가 발생되었다.

2) 명반석과 석회석의 혼합비[석회석/명반석(몰비)]를 6.0으로 하였을 때 공기 분위기와 CO<sub>2</sub>(g) 포화 분위기에서 무수석고의 함성량은 각각 99.0%와 95.0%이었다. 이때 공기 분위기에서 무수석고의 함성량은 석회석의 입도(0.5 mm 이하)에 관계없이 일정하였지만, CO<sub>2</sub>(g)의 포화분위기에서는 석회석의 입도가 작아짐에 따라 함성량이 증가되었다.

3) 1몰의 명반석과 6몰의 석회석의 혼합물을 1000~1300°C에서 소성하면 1몰의 haiyune(3CaO·3Al<sub>2</sub>O<sub>3</sub>·CaSO<sub>4</sub>)과 1몰의 calciumlangbeinite(2CaSO<sub>4</sub>·K<sub>2</sub>SO<sub>4</sub>)가 생성된다. 이때 무수석고는 550°C에서 calciumlangbeinite는 700°C에서 그리고 haiyune은 800~950°C에서 생성되었다.

#### 감사의 글

이 논문은 1999년 한국학술진흥재단의 연구비에 의하여 연구되었음(KRF-1999-E00028). 이에 감사드립니다.

#### 참 고 문 헌

- [1] KS F 2562.
- [2] ASTM C 845.
- [3] N. Fukuda, Fundamental Studies on the Expansive

- Cement, Proceedings of the 5th. International Symposium on the Chemistry of Cement, Tokyo 4 (1968) 311.
- [ 4 ] P.E. Halstead and A.E. Moor, The Composition and Crystallography of an Anhydrous Calcium Aluminosulphate Accuring in Expanding Cement, *J. Appl. Chem.* 12 (1962) 413.
- [ 5 ] 近藤 連, 化学工業, 最近の無機化学工業, 第1集, 化学工業社 (1967) 79.
- [ 6 ] I. Kapralik, F. Hanic, J. Havlica and V. Ambruz, Subsolidus Phase Relations in the System  $\text{CaO-Al}_2\text{O}_3\text{-SiO}_2\text{-Fe}_2\text{O}_3\text{-MgO-CaSO}_4\text{-K}_2\text{SO}_4$  at  $950^\circ\text{C}$  in Air Referred to Sulphoaluminate Cement Clinker, *Trans. J. Brit. Ceram. Soc.* 85 (1986) 107.
- [ 7 ] A.E. Moor and H.F. W Tayler, Crystal Structure of Ettringite, *Acta. Cryst.* B226 (1970) 386.
- [ 8 ] P.K. Mehta and A. Klein, Symposium on Structure of Portland Cement Paste and Concrete, Highway Research Board (1966) 328.
- [ 9 ] P.K. Mehta, *J. Am. Ceram. Soc.* 50(4) (1967) 204.
- [10] P.P. Budnikov and I.V. Kravchenko, V-ISCC (1968) IV-4.
- [11] Yoshiaki Sanada, Chokui Saito and Kiyonhi Miyawawa, Studies on Preparation of Special High Aluminous Cement from Alunite (I), *Journal of The Ceramic Society of Japan* 57 (1949) 32.
- [12] Yoshiaki Sanada, Chokui Saito and Kiyonhi Miyawawa, Studies on Preparation of Special High Aluminous Cement (II), *Journal of The Ceramic Society of Japan* 57 (1949) 126.
- [13] Chokui Saito, Kiyonhi Miyawawa, Patent No. 176440 (1948).
- [14] H.S. Kim and D.S. Cho, A Study on the Thermal Decomposition of Alunite, *Journal of the Korean Institute of Resources Recycling* 7 (1998) 33.
- [15] 石膏石灰學會編, 石膏石灰ハンドブック, 技報堂 (1972) 12.
- [16] 石膏石灰學會編, 石膏石灰ハンドブック, 技報堂 (1972) 214.
- [17] W. Gutt, Studies of Sulphates in Portland Cement Clinker, *Cement Techn.*, Sep./Oct. (1971) 143.
- [18] 石膏石灰學會編, 石膏石灰ハンドブック, 技報堂 (1972) 49.